

[文章编号] 1007-3949(2008)16-10-0805-04

• 实验研究 •

DIDS对十字孢碱诱导心肌细胞凋亡中磷脂酰肌醇 3 激酶 /蛋白激酶 B信号转导的影响

刘安恒^{1,2}, 曹亚南¹, 张卫卫¹, 师堂旺¹, 刘艳¹, 王晓明¹

(1. 中国人民解放军第四军医大学西京医院老年病科, 陕西省西安市 710032)

2. 军事医学科学院附属 307 医院心内科, 北京市 100071)

[关键词] 生理学; 心肌细胞; 凋亡; 氯离子通道阻断剂; 十字孢碱; 磷脂酰肌醇 3 激酶 /蛋白激酶 B

[摘要] 目的 探讨氯离子通道阻断剂 DIDS 对十字孢碱诱导心肌细胞凋亡与磷脂酰肌醇 3 激酶 /蛋白激酶 B 信号及其下游分子一氧化氮合酶 /一氧化氮的关系。方法 实验分为对照组、十字孢碱组、DIDS 组、LY294002(特异性磷脂酰肌醇 3 激酶抑制剂)组和 L-NAME(非特异性一氧化氮合酶抑制剂)组。在十字孢碱诱导心肌细胞凋亡模型上, 观察 DIDS 对心肌细胞存活率、凋亡和磷脂酰肌醇 3 激酶 /蛋白激酶 B 及其下游分子一氧化氮合酶 /一氧化氮的影响。结果 与十字孢碱组比, DIDS 显著改善了细胞存活率, 提高了细胞磷酸化蛋白激酶 B 活性 2.1 倍 ($P < 0.01$), 增加了一氧化氮合酶和磷酸化一氧化氮合酶的水平和一氧化氮水平 ($P < 0.01$); LY294002 预处理完全抑制了磷酸化蛋白激酶 B、一氧化氮合酶和磷酸化一氧化氮合酶水平的升高及升高的一氧化氮, 完全阻断了 DIDS 的抗细胞凋亡作用; L-NAME 预处理也使升高的一氧化氮水平下降, 但仅部分阻断了 DIDS 的细胞保护作用。结论 DIDS 通过激活磷脂酰肌醇 3 激酶 /蛋白激酶 B 信号通路发挥其抑制十字孢碱诱导的心肌细胞凋亡作用。

[中图分类号] Q4

[文献标识码] A

The Effect of DIDS on Phosphatidylinositol 3'-Kinase/Proteinase B Signal Transduction of Stauroporine-Induced Cardiomocyte Apoptosis

LIU An-Heng^{1,2}, CAO Ya-Nan¹, ZHANG Wei-Wei¹, SHI Tang-Wang¹, LIU Yan¹, and WANG Xiao-Ming¹

(1. Department of Geriatrics, Xijing Hospital of Fourth Military Medical University, Xi'an 710032, China; 2. Department of Cardiology, 307 Hospital of PLA, Academy of Military Medical Sciences, Beijing 100071, China)

[KEY WORDS] Cardiomocyte; Apoptosis; Chloride Channel Blockers; Stauroporine; Phosphatidylinositol 3'-Kinase/Proteinase B

ABSTRACT Aim To explore the effect of chloride channel blocker DIDS on cell signaling pathway phosphatidylinositol 3'-kinase/proteinase B (PI3K/Akt) and its downstream molecules endothelial nitric oxide synthase (eNOS) and nitric oxide (NO) in stauroporine (STS)-treated cardiomyocyte apoptosis. Methods Neonatal rat cardiomyocytes were exposed to STS in the presence or absence of DIDS. Cell viability, apoptosis and expressions of Akt, phospho-Akt (p-Akt), eNOS, phospho-eNOS (p-eNOS) and NO production were determined. Results DIDS markedly improved cell viability on STS-exposed cardiomyocytes. DIDS resulted in a 2.1-fold increase of p-Akt over control levels, prevented the reduction in eNOS expression and phospho-eNOS levels induced by STS and significantly increased NO production ($P < 0.01$). Pretreatment with LY294002, a selective PI3K inhibitor, abolished DIDS-induced increases in p-Akt, eNOS, p-eNOS and NO production, and completely abrogated the DIDS-induced antiapoptotic effect ($P < 0.01$). Pretreatment with L-NAME, a non-selective NOS inhibitor similarly inhibited the increased NO but only partly abolished protective effects of DIDS ($P < 0.05$). Conclusion DIDS inhibits STS-induced cardiomyocyte apoptosis via activating PI3K/Akt signaling pathway.

氯离子通道阻断剂可以抑制多种刺激导致的细胞凋亡^[1,2], 我们前期的研究证实氯离子通道参与了心肌细胞的凋亡过程, 阻断其通道能够有效抑制

[收稿日期] 2008-07-29 [修回日期] 2008-10-05

[基金项目] 国家自然科学基金(30570758 和 30770847)

[作者简介] 刘安恒, 博士, 主治医师, 研究方向为心血管疾病的基础与临床研究, Email: doctorlah@126.com。曹亚南, 硕士, 医师, 研究方向为心血管疾病的基础与临床研究。通讯作者王晓明, 博士, 副主任医师, 副教授, 硕士研究生导师, 研究方向为心血管疾病的基础与临床研究, Email: xmwang@fmmu.edu.cn

心肌细胞凋亡的发生。但是关于通道阻断与存活信号通路之间的关系仍不清楚。磷脂酰肌醇 3 激酶 /蛋白激酶 B (phosphatidylinositol 3'-kinase/proteinase B, PI3K/Akt) 信号通路在细胞的生存中起重要作用, 多种抗凋亡因子可通过调节 Akt 活性发挥其抗凋亡作用^[3]。在低渗性肿胀细胞, 激活的 PI3K 及其下游分子可通过调节氯电流, 参与细胞体积的调节, 促进细胞存活^[4]。在细胞凋亡的情况下, 也伴有细胞体积的变化及激活的氯电流, 而且抑制氯

电流可以抑制细胞的凋亡,为了解 PI3K/Akt信号通路是否参与氯离子通道阻断剂的抗凋亡作用,我们探讨了非特异性氯离子通道阻断剂 DIDS的抗凋亡作用与 PI3K/Akt信号通路及下游相关分子的关系。

1 材料和方法

1.1 材料与试剂

胶原酶 ④购自 Gibco DIDS、十字孢碱 (STS)、LY294002 和 L-NAME 购自 Sigma 兔抗 Akt 磷酸化 Akt(p-Akt)、内皮型一氧化氮合酶 (endothelial nitric oxide synthase eNOS) 和磷酸化 eNOS(p-eNOS) 抗体购自 Cell signaling。

1.2 原代心肌细胞培养及实验分组

取新生 1 天 SD 大鼠心脏, Hank's 液清洗、剪碎组织。0.1% 胶原酶 ④ 的 HEPES 液反复消化 6~8 次。收集细胞悬液置于含 10% 新生牛血清的 DMEM 培养液离心管中, 1 000 r/m in 离心 5 min, 弃上清, 用含 10% 新生牛血清培养基重悬, 37°C 差速贴壁约 1 h, 使成纤维细胞贴壁后, 细胞悬液经 200 目网过滤, 加入 10 mmol/L 5-溴-2'-脱氧尿苷 (5-bromo-2'-deoxyuridine Brdu) 母液, 使其终浓度为 0.1 mmol/L, 37°C、CO₂ 细胞培养箱孵育 24 h 后更换含 Brdu 新的 DMEM 培养基, 37°C 继续孵育培养 48 h 后, 随机将其分为 5 组, 分别给予以下处理: (1) 对照组: 正常无血清 DMEM 培养液继续培养; (2) STS 组: 含有 4 μmol/L STS 的无血清 DMEM 培养液培养 8 h; (3) DIDS 组: 含有 4 μmol/L STS 和 250 μmol/L DIDS 的无血清 DMEM 培养液共同培养 8 h; (4) LY294002 组: 20 μmol/L 的特异性 PI3K 阻断剂 LY294002 预处理 1 h 后, 用含有 4 μmol/L STS、250 μmol/L DIDS 和 20 μmol/L LY294002 的无血清 DMEM 培养液处理 8 h; (5) L-NAME 组: 100 μmol/L 的非特异性 eNOS 阻断剂 L-NAME 预处理 1 h 后, 用含有 4 μmol/L STS、250 μmol/L DIDS 和 100 μmol/L L-NAME 的无血清 DMEM 培养液处理 8 h。

1.3 细胞存活率检测

按照实验方案处理后的 96 孔板培养心肌细胞, 每 100 μL 培养基加入 10 μL 的 5 g/L MTT 继续孵化 2 h, 用分光比色仪进行检测, 实验结果以细胞存活率表示, 细胞存活率 = 试验组 / 对照组 × 100%。

1.4 Caspase-3活性测定

用 Apo-ONE™ Homogeneous Caspase-3 试剂盒 (美国 Promega 公司) 检测 Caspase-3 活性。含有 100 μL 培养基的实验细胞中, 加入 100 μL 的混合

Caspase-3 底物 Z-DEVD-R110 和缓冲液, 在室温下轻微摇动孵化 6~8 h, 用荧光检测仪于激发波长为 485 nm, 散发波长 538 nm 处, 读取检测荧光值。酶相对活性水平用实验组与对照组吸收比表示, 设定对照组活性为 100%。

1.5 免疫印迹法检测蛋白激酶 B、磷酸化蛋白激酶 B、一氧化氮合酶和磷酸化一氧化氮合酶水平

处理细胞后弃上清, 冰 PBS 清洗, 加入适量细胞裂解液 (20 mmol/L Tris-HCl, 150 mmol/L NaCl, 1 mmol/L EDTA, 1 mmol/L DTT, 1 mmol/L Na₃P₂O₇, 5 mmol/L NaF, 1 mmol/L Na₃VO₄, 0.5% Triton X-100, 1% SDS 及 1% 蛋白酶抑制剂混合物; pH 7.4), 冰上裂解 30 min, 充分吹打后收集, 4°C 12 000 r/m in 离心 5 min, 收集上清, -80°C 保存。BCA 法蛋白定量, 50 μg 上样行 SDS-PAGE 凝胶电泳, 转移蛋白至 PVDF 膜。5% 脱脂奶粉 37°C 封闭 1 h, 加入兔抗 Akt p-Akt eNOS 和 p-eNOS 抗 4°C 过夜, 加入羊抗兔二抗 37°C 孵育 1 h, 凝胶成像系统 ECL 发光成像, Lab Image 软件分析。

1.6 一氧化氮含量检测

用硝酸还原酶法检测无酚红细胞培养上清亚硝酸盐和硝酸盐 (NO₂⁻/NO₃⁻) 含量, 间接反映一氧化氮 (nitric oxide NO) 水平。将离心后细胞培养上清 0.1 mL 去细胞后按试剂盒说明书操作, 计算 NO 含量。NO 试剂盒由南京建成生物工程研究所提供, 分光比色仪进行比色法测定。

1.7 统计学处理

所有数据用 $\bar{x} \pm s$ 表示, 多组间比较采用 one-way ANOVA 分析, 两组比较采用 LSD-t 检验。双侧 $P < 0.05$ 具有统计学意义。

2 结果

2.1 DIDS 对十字孢碱诱导心肌细胞存活率的影响

STS 使细胞存活率明显下降 ($P < 0.01$), 而 DIDS 处理能升高细胞存活率 ($P < 0.01$), LY294002 预处理后, 可以完全阻断 DIDS 升高细胞存活率的效应 ($P < 0.01$), 而 L-NAME 预处理仅部分阻断 DIDS 对细胞存活率的影响 ($P < 0.05$ 表 1)。

2.2 DIDS 对十字孢碱对心肌细胞 Caspase-3 活性的影响

STS 组细胞内 Caspase-3 活性较对照组升高约 4 倍 ($P < 0.01$); 加入 DIDS 后, Caspase-3 活性较 STS 组明显下降 ($P < 0.01$); LY294002 预处理完全清除了 DIDS 降低 STS 处理细胞 Caspase-3 活性的作用,

而 L-NAM E(100 μmol/L)预处理心肌细胞仅部分清除了 DIDS抑制 STS处理细胞 Caspase-3活性的作用(表 1)。

表 1 LY294002及 L-NAM E预处理对 DIDS细胞保护作用的影响

分 组	细胞存活率	Caspase-3活性
对照组	100.0% ±4.4%	1.00 ±0.35
STS组	42.9% ±3.4% ^a	4.10 ±0.46 ^a
DIDS组	77.4% ±6.8% ^b	1.60 ±0.28 ^b
LY294002组	32.0% ±5.7% ^d	4.70 ±0.31 ^d
L-NAM E组	54.7% ±6.3% ^c	3.20 ±0.22 ^c

a为P<0.01,与对照组比; b为P<0.01,与STS组比; c为P<0.05, d为P<0.01,与DIDS组比。

2.3 DIDS对十字孢碱诱导心肌细胞蛋白激酶B及磷酸化蛋白激酶B水平的影响

各实验组之间细胞内总Akt表达水平无明显差异。观察活性形式的p-Akt对照组与STS组之间细胞内p-Akt水平无明显差异,加入DIDS后p-Akt明显升高,为STS组的2.1倍(P<0.01); LY294002预处理细胞完全阻断了DIDS激活的p-Akt(P<0.01);而L-NAM E预处理则对DIDS升高STS处理细胞p-Akt的效应无显著影响(表2和图1)。同时发现,DIDS单独作用2 h(1.16±0.11)、4 h(1.02±0.13)和8 h(1.09±0.20)后心肌细胞p-Akt水平与对照组(1.00±0.06)比较无明显变化,说明DIDS并不直接激活正常心肌细胞PI3K/Akt信号通路。

2.4 DIDS对十字孢碱诱导心肌细胞一氧化氮合酶和磷酸化一氧化氮合酶水平的影响

STS组中eNOS及p-eNOS均较对照组明显降低(P<0.01);加入DIDS后eNOS和p-eNOS水平较STS组明显升高(P<0.01); LY294002预处理完全阻断了DIDS对eNOS和p-eNOS的影响,而L-NAM E预处理则对DIDS升高STS处理细胞eNOS

和p-eNOS的作用无明显影响(表2和图2)。提示DIDS抑制心肌细胞凋亡可能与调节PI3K/Akt的下游分子eNOS有关。

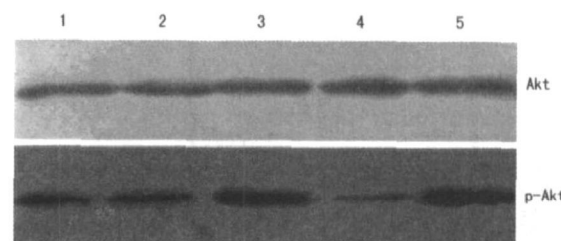


图1 DIDS对十字孢碱诱导心肌细胞蛋白激酶B和磷酸化蛋白激酶B水平的影响 1为对照组, 2为STS组, 3为DIDS组, 4为LY294002组, 5为L-NAM E组。

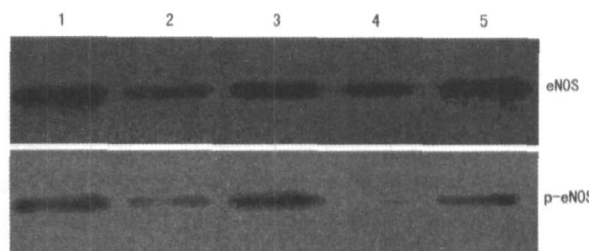


图2 DIDS对十字孢碱诱导心肌细胞一氧化氮合酶及磷酸化一氧化氮合酶水平的影响 1为对照组, 2为STS组, 3为DIDS组, 4为LY294002组, 5为L-NAM E组。

2.5 DIDS对十字孢碱诱导心肌细胞一氧化氮水平的影响

与对照组比,STS培养心肌细胞上清NO水平明显降低(P<0.01),加入DIDS可以明显恢复STS处理心肌细胞NO含量(P<0.01); LY294002及L-NAM E预处理细胞均可完全阻断DIDS升高细胞NO含量的作用(P<0.01,表2)。

表2 DIDS对十字孢碱诱导心肌细胞蛋白激酶B、一氧化氮合酶和一氧化氮水平的影响

指 标	对照组	STS组	DIDS组	LY294002组	L-NAM E组
Akt	1.00 ±0.15	0.95 ±0.24	0.99 ±0.16	1.04 ±0.09	0.91 ±0.22
p-Akt	1.00 ±0.10	0.90 ±0.19	2.10 ±0.15 ^b	0.80 ±0.12 ^c	1.90 ±0.21
eNOS	1.00 ±0.02	0.50 ±0.05 ^a	0.80 ±0.03 ^b	0.40 ±0.06 ^c	0.80 ±0.01
p-eNOS	1.00 ±0.05	0.40 ±0.03 ^a	0.90 ±0.03 ^b	0.20 ±0.02 ^c	0.90 ±0.06
NO (μmol/L)	28.70 ±1.36	14.90 ±0.64 ^a	25.30 ±2.31 ^b	13.00 ±1.66 ^c	8.80 ±1.33 ^c

a为P<0.01,与对照组比; b为P<0.01,与STS组比; c为P<0.01,与DIDS组比。

3 讨论

细胞的自稳态对于细胞的生存及正常功能有重要的意义。氯离子是机体内最为丰富的阴离子,近年来,大量研究显示氯离子外流参与了多种细胞凋亡过程,阻断激活的氯离子电流能减轻细胞凋亡。但阻断氯离子通道抗凋亡的分子机制仍不清楚。本实验观察了氯离子通道阻断剂 DIDS 对心肌细胞凋亡的影响及其与细胞内促存活信号通路 PI3K /Akt 及下游分子 eNOS/NO 的关系。

PI3K /Akt 是一条重要的促存活信号通路^[5]。胰岛素、胰岛素样生长因子 (insulin-like growth factor IGF)、血清、促红细胞生成素 (erythropoietin, EPO) 和 17 β -雌二醇等均被证明能够在某些情况下激活 PI3K /Akt 发挥细胞保护作用^[3]。Akt 是 PI3K 下游一个重要的活性靶激酶,可以作用于一系列凋亡相关基因或蛋白底物发挥抗细胞凋亡作用: 磷酸化 Bad 使其与 Bcl2 或 Bcl-xL 解离; 使糖原合成酶 3 β (glycogen synthase kinase Gsk-3 β) 失活; 直接磷酸化 Caspase-9 促进凋亡抑制剂存活蛋白和凋亡抑制蛋白 (inhibitor of apoptosis protein, IAP) 的表达^[3]。本研究发现 DIDS 使凋亡细胞 Akt (Ser-473) 磷酸化水平比对照组及 STS 组细胞明显升高, 特异性 PI3K 抑制剂 LY294002 预处理可明显抑制激活的 p-Akt 而且能抑制 DIDS 对细胞存活率、Caspase-3 活性和细胞凋亡的影响。说明 DIDS 可能通过激活 PI3K /Akt 信号转导通路发挥其抗凋亡作用。

激活的 Akt 又是通过哪些分子实现其抗凋亡作用的呢? eNOS 是心血管系统的重要保护分子, 很多证据支持 eNOS 是 Akt 的一个重要底物, Akt 可以磷酸化 eNOS (Serine 1177), 调节其活性, 促进细胞 NO 生成^[6]。在多种心血管疾病, eNOS 磷酸化介导的 NO 生成是多种有效干预治疗的最终共同通路^[7-8]。NO 通过多种生物学效应发挥抗细胞凋亡作用^[9-10]: 亚硝基化修饰凋亡启动子 Caspase-8 和 9, 也可亚硝基化修饰凋亡效应子 Caspase-3、6 和 7^[11]; 抑制 Bcl-2 裂解, 进而抑制细胞色素 C 的释放^[12]; 也有证据表明其可作为清除剂清除心肌缺血再灌注产生的

氧自由基^[13]。本研究证实了在 STS 诱导的心肌细胞凋亡过程中伴有 eNOS、p-eNOS 和 NO 水平显著降低。在 STS 诱导细胞凋亡的同时, 加入 DIDS 可以恢复细胞内 eNOS 水平及 p-eNOS 活性, 促进 NO 的生成, 应用非特异性 NOS 抑制剂 L-NAME 预处理可以部分清除 DIDS 的抗凋亡效应, 提示激活 PI3K /Akt 信号通路, 促进 NO 升高是 DIDS 抑制细胞凋亡的重要机制, 为氯离子通道阻断剂保护受损细胞免于凋亡发生提供了新的实验依据。

[参考文献]

- [1] Wang X, Takahashi N, Uramoto H, et al. Chloride channel inhibition prevents ROS-dependent apoptosis induced by ischemia-reperfusion in mouse cardiomyocytes [J]. *Cell Physiol Biochem*, 2005, **16** (4-6): 147-154.
- [2] Okada Y, Shimizu T, Maeno E, et al. Volume-sensitive chloride channels involved in apoptotic volume decrease and cell death [J]. *J Membr Biol*, 2006, **209** (1): 21-29.
- [3] Sugden PH, Ras A, Akt and mechanotransduction in the cardiac myocyte [J]. *Circ Res*, 2003, **93** (12): 1179-1192.
- [4] Wang GX, McCudden C, Dai YP, et al. Hypotonic activation of volume-sensitive outwardly rectifying chloride channels in cultured PASMCS is modulated by SGK [J]. *Am J Physiol Heart Circ Physiol*, 2004, **287** (2): H533-544.
- [5] Sugden PH, Cleak A. Akt like a woman: gender differences in susceptibility to cardiovascular disease [J]. *Circ Res*, 2001, **88** (10): 975-977.
- [6] Kukreja RC, Xie L. eNOS phosphorylation: a pivotal molecular switch in vasodilation and cardioprotection [J]. *J Mol Cell Cardiol*, 2007, **42** (2): 280-282.
- [7] Di Napoli P, Antonio Taccardi A, Grilli A, et al. Simvastatin reduces reperfusion injury by modulating nitric oxide synthase expression: an ex vivo study in isolated working rat hearts [J]. *Cardiovasc Res*, 2001, **51** (2): 283-293.
- [8] Seddon M, Shah AM, Casadei B. Cardiomyocytes as effectors of nitric oxide signalling [J]. *Cardiovasc Res*, 2007, **75** (2): 315-326.
- [9] He SY, Tan B, Deng HW, et al. Role of nitric oxide in the cardioprotection of heat stress-induced delayed preconditioning in rats [J]. 中国动脉硬化杂志, 2001, **9** (5): 369-372.
- [10] 张梅, 黄体钢, 周丽娟. 一氧化氮在乳鼠心肌细胞缺氧复氧预处理延迟保护效应中的作用 [J]. 中国动脉硬化杂志, 2004, **12** (5): 545-548.
- [11] King YM, Bambeck CA, Billiar TR. Nitric oxide as a bifunctional regulator of apoptosis [J]. *Circ Res*, 1999, **84** (3): 253-256.
- [12] King YM, King TH, Seold DW, et al. Nitric oxide suppression of apoptosis occurs in association with an inhibition of Bcl-2 cleavage and cytochrome c release [J]. *J Biol Chem*, 1998, **273** (47): 31437-441.
- [13] Li CQ, Wogan GN. Nitric oxide as a modulator of apoptosis [J]. *Cancer Lett*, 2005, **226** (1): 1-15.

(本文编辑 许雪梅)